

计算物理A第十一次作业

王锐泽 PB18020766

1 作业题目

- 数值研究 $d(d=1, 2, 3)$ 维空间中随机行走返回原点的几率 P_d ，讨论它随步数 N 的变化关系 $P_d(N)$ ，能否定义相关的指数值？

2 实现方法和原理

- d 维随机游走的实现

本次实验采用离散化模型，即一维链，二维正方形网格，三维正方体网络来模拟 d 维的随机游走。具体到算法上，采用16807产生器每一次产生一个 $[0, 1]$ 之间的随机数 ξ ，若 $\xi > 0.5$ ，则朝正方向前进一步；若 $\xi < 0.5$ ，则朝负方向前进一步。使用计数器 cnt 来计数在第 N 步返回原点的次数，除以总系统数量 M ，就可以得到第 N 步返回原点的概率 $p(N)$ 。

- d 随机游走理论和常返性

对于网格模型，显然只有在偶数步 N 时才能返回原点(奇数步必然在正负两个方向中有一个是多出一部分步长的)。

一维情形

$$p(N) = \frac{N!}{(\frac{N}{2}!)^2} \left(\frac{1}{2}\right)^N$$

二维情形

$$p(N) = \sum_{k=0}^{\frac{N}{2}} \frac{N!}{[k! \cdot (\frac{N}{2} - k)!]^2} \left(\frac{1}{4}\right)^N$$

三维情形

$$p(N) = \sum_{k=0}^{\frac{N}{2}} \sum_{j=0}^{\frac{N}{2}-k} \frac{N!}{[k! \cdot j! \cdot (\frac{N}{2} - k - j)!]^2} \left(\frac{1}{6}\right)^N$$

当步数 N 足够大的时候，做 $Stirling$ 近似展开得到 d 维随机游走标度律为[1]:

$$p^{2N}(0, 0) = C_d N^{-\frac{d}{2}}$$

对三维情况简单的证明如下:

每一步要决定是走南北、东西、上下哪一个方向，那么总共有 C_{2N}^N 种组合方式取安排总共 N 步走南东上， N 步走北西下。那么必然也有 i 步走南/北， j 步走东/西， $N - i - j$ 步走上/下。从而:

$$p^{2N}(0, 0) = \frac{1}{6^{2N}} C_{2N}^N \left(\sum_{i+j \leq N} \frac{N!}{i!j!(N-i-j)!} \right)^2$$

可以验证，在 $x + y + z = N$ ， N 充分大，当 $x = y = z = \frac{N}{3}$ 时， $x!y!z!$ 取得最小值。

所以

$$p^{2N}(0,0) \leq \frac{1}{6^{2N}} C_{2N}^N \frac{N!}{\frac{N}{3}!^2} \left(\sum_{i+j \leq N} \frac{N!}{i!j!(N-i-j)!} \right) = \frac{1}{6^{2N}} C_{2N}^N \frac{N!}{(\frac{N}{3}!)^2 3^N} \sim C_3 N^{-3/2}$$

常返性可以通过 $\sum_{N=0}^{\infty} p^{2N}(0,0)$ 的收敛性来判断，这是由过程的马尔可夫性决定的。一，二维上该级数发散，所以是常返的。三维以上发散，不再常返[1]。

3 程式说明

- random_walk.c

该程式输出在 $d = 1, 2, 3$ 维情况下的 $P_1(N), P_2(N), P_3(N)$ 。

- ideal.c

该程式输出在 $d = 1, 2, 3$ 维情况下的理论 $P_1(N), P_2(N), P_3(N)$ 。

- rdm.h

这是一个包含了使用16807产生器生成指定长度的 $[0, 1]$ 上均匀分布随机数函数的头文件。

```
void rdm(int N, double *x, int method)
```

该函数将输入的指针 x 对应的长度为 N 的数组用 $[0, 1]$ 上的随机数填满。method 是关于初始种子的选择。method=0: 默认种子; method=1, 时间种子。程式中故意采用 *sleep* 函数就是为了得到不同的时间种子。

- time_seed.txt

16807 产生器抽样时对应的时间种子数据(每次1个种子)。调用多少次16807 生成器就生成多少个数据记录。每一个分布对应的种子已经手动加上对应的实验了。种子产生公式如下:

年: $0 \leq i_y \leq 99$, 月: $1 \leq i_m \leq 12$, 日: $1 \leq i_d \leq 31$
 时: $0 \leq i_h \leq 23$, 分: $0 \leq i_n \leq 59$, 秒: $0 \leq i_s \leq 59$
 则可设种子值为: $I_0 = i_y + 70(i_m + 12(i_d + 31(i_h + 23(i_n + 59i_s))))$, 它的值约在区间 $[0, 2^{31}-1]$ 内, 第二部分的括号在 100 年内不会重复。

Tip: 程序中多处使用了 *sleep* 函数是为了换时间种子, 因而可能运行时间较久一点。

- 1/2/3d_random_walk.txt

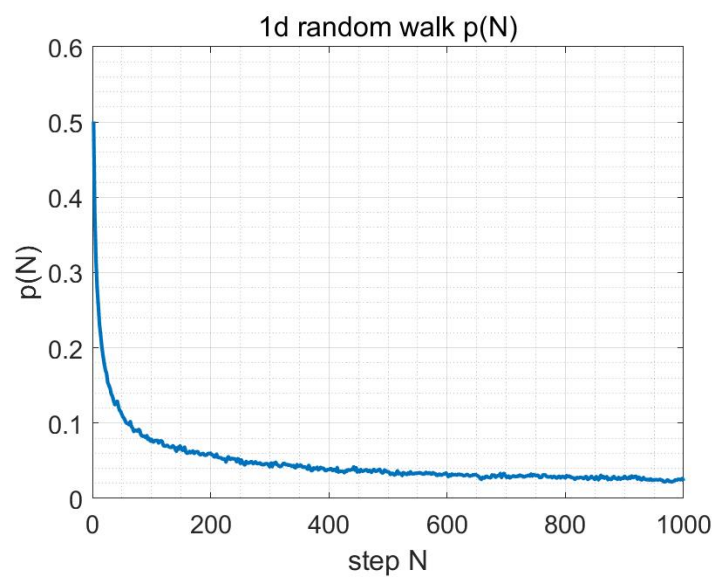
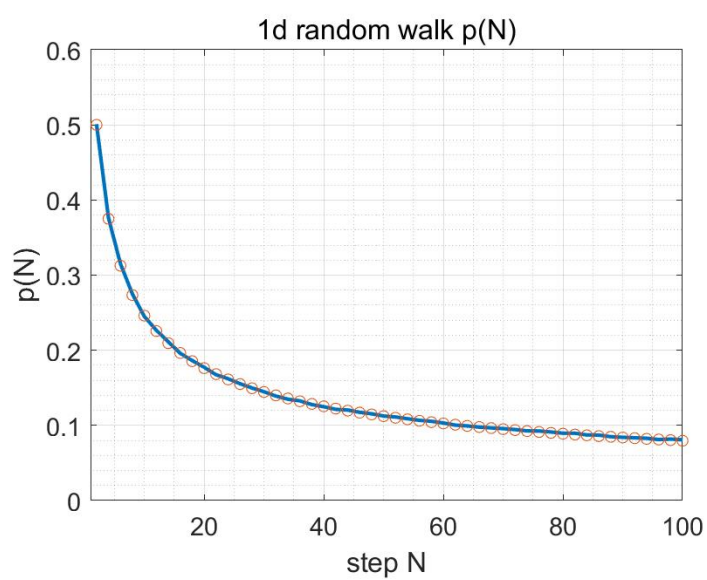
记录了 $p(N)$ 的txt文件

- 1/2/3d_ideal.txt

记录了理论上从 $N = 1 \sim 200$ 的 $p(N)$ 数值, 后续作图和实验值作比较。

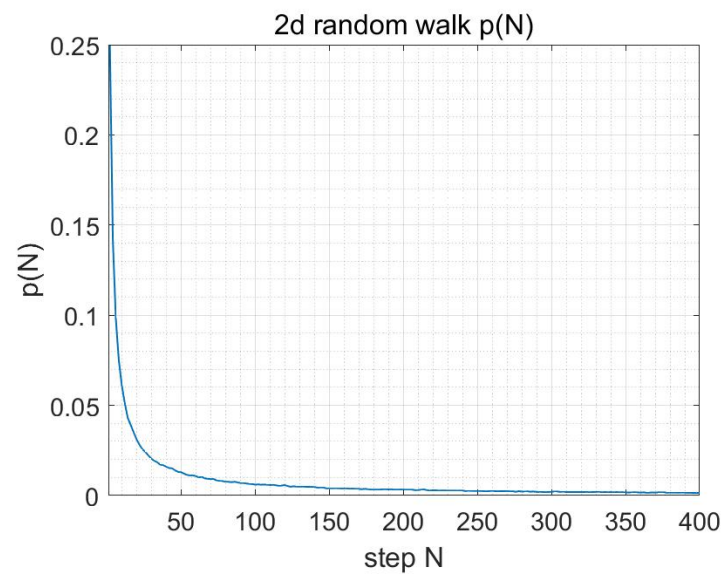
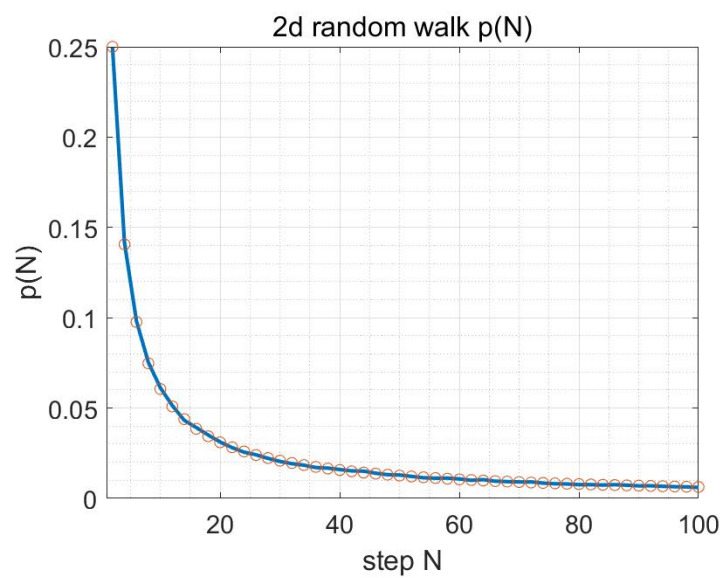
4 计算结果

选择总步数为 $N = 1000$, 系综包含的系统数为 $M = 200000$ 个。以网格模型模拟随机游走, 得到的结果如下:

4.1 不同维度下 $p(N)$ 和理想结果的对比(a) $p_{1d}(N)$ 

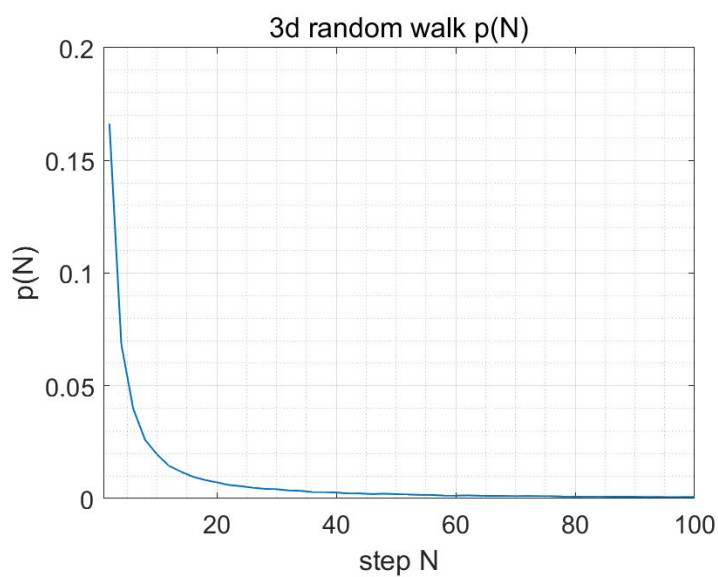
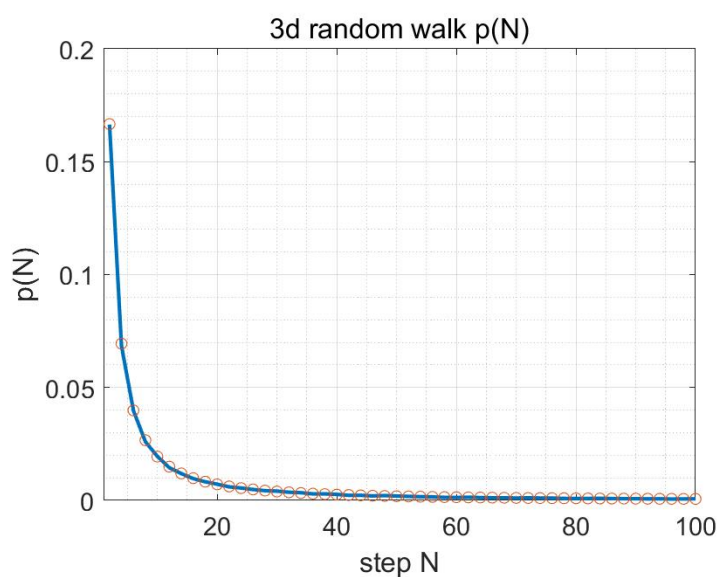
(b) 与理想值的比较(圆圈为理想值)

图 1: 一维情形

(a) $p_{2d}(N)$ 

(b) 与理想值的比较(圆圈为理想值)

图 2: 二维情形

(a) $p_{3d}(N)$ 

(b) 与理想值的比较(圆圈为理想值)

图 3: 三维情形

从上面的计算结果可以看出，我们的计算模拟和理论计算值非常吻合。除了少许的涨落，得到的曲线基本满足前面的理论推导。

4.2 标度律指数的计算

对 $d = 1, 2, 3$ 维分别做出双对数图，计算指数标度律如下

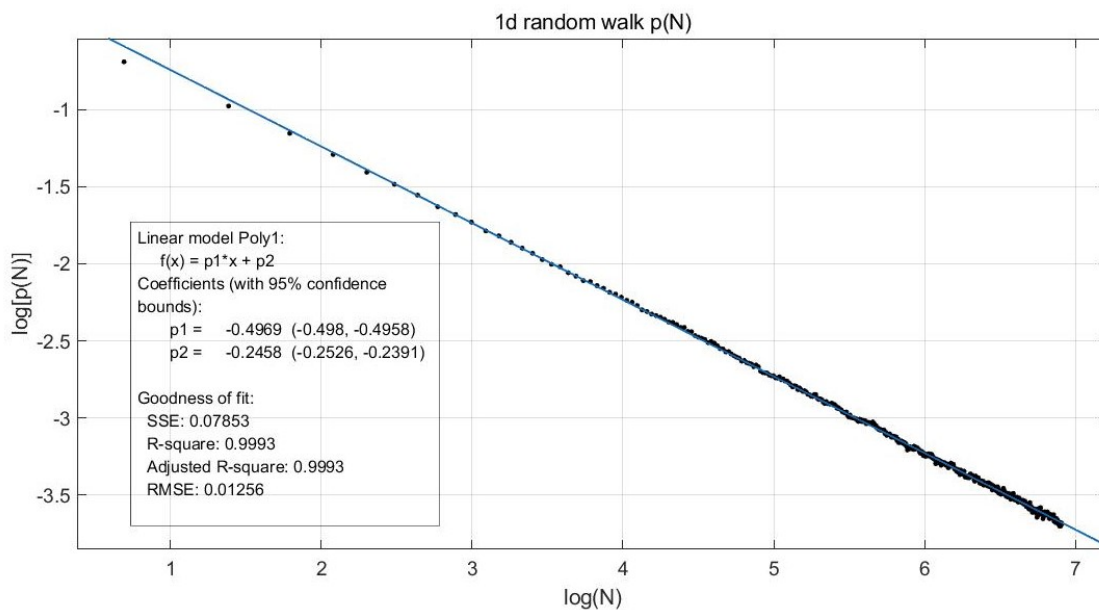


图 4: 1d随机游走

从拟合结果来看，一维的指数大约为 $\nu = -0.4969$ 。这和理论近似的 -0.5 非常接近，且随着 N 的增大，吻合程度增大，这也符合对大 N 值近似展开的前提。

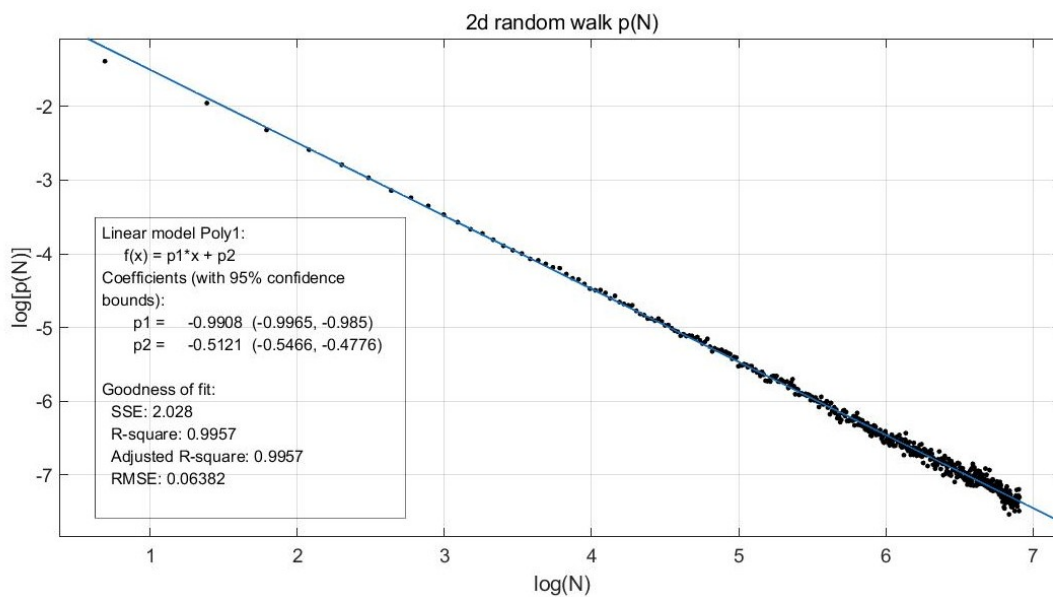


图 5: 2d随机游走

从拟合结果来看，一维的指数大约为 $\nu = -0.9908$ 。这和理论近似的 -1.0 非常接近，且随着 N 的增大，吻合程度增大，这也符合对大 N 值近似展开的前提。

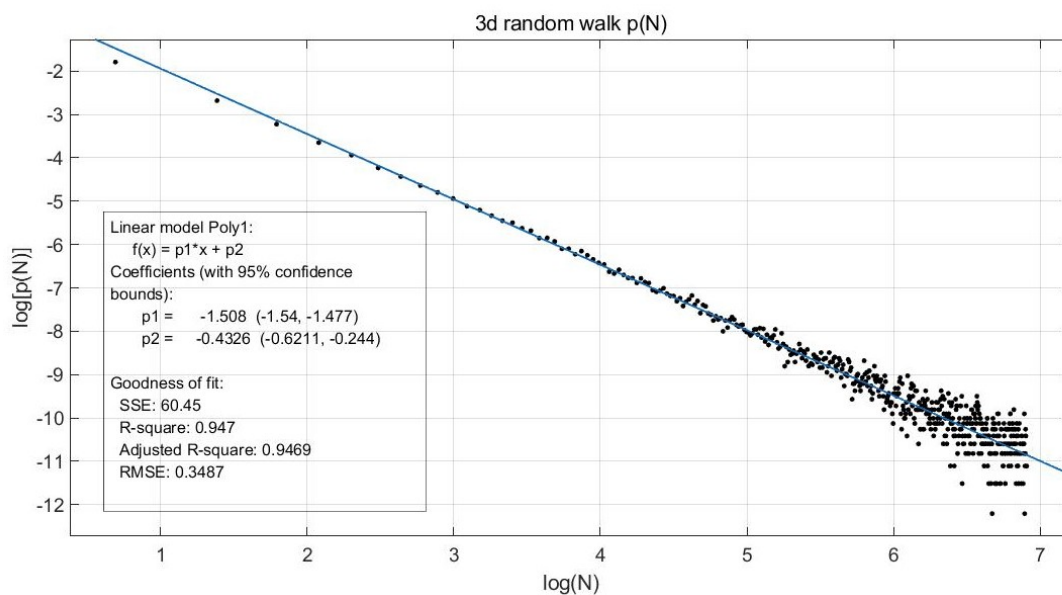


图 6: 3d随机游走

从拟合结果来看，一维的指数大约为 $\nu = -1.508$ 。这和理论近似的 -1.5 非常接近，且一开始随着 N 的增大，吻合程度增大，这也符合对大 N 值近似展开的前提。并且由上面的理论推导可以指导， p 确实也会略小于标度的 -1.5 次方关系，从而实际实验标度要略小于 -1.5 。但是需要注意的是，当 N 继续增大时，可能是由于笔者选取的系综数量还不够多，在大步长的时候会出现 $\log(p)$ 无穷大的点，因为没有粒子经过原点。另一个值得注意的是，由于系综取得不够大，在后面很大的 N 时出现的统计涨落会变大，体现在图上就是最后模糊的一片点集，这是由系综中系统数 M 不够大引起的，而非步长 N 的原因。

4.3 三维和二维的随机游走比较

做出系综中一个粒子的随机游走轨迹。在二，三维的轨迹如下：

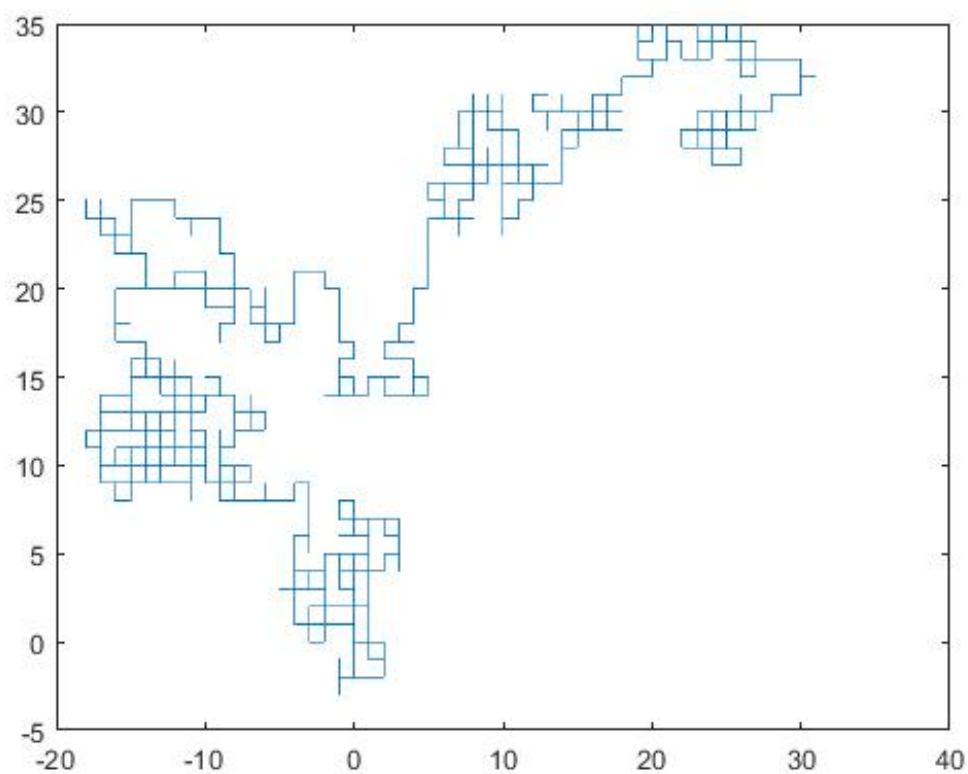
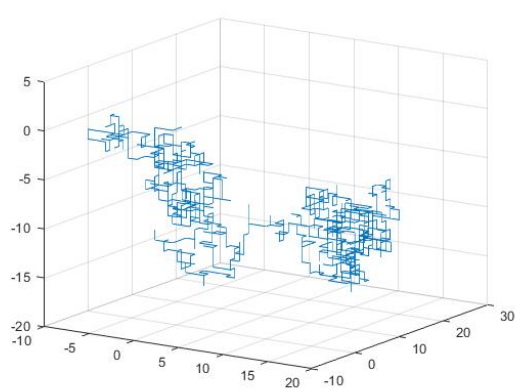
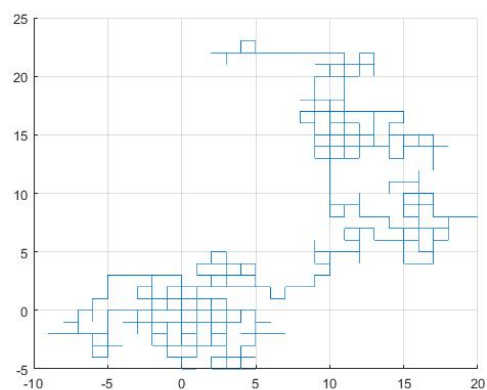


图 7: 二维随机游走



(a) 三维视图



(b) xy平面投影

图 8: 三维随机游走

5 总结

- 本实验数值模拟了 $d = 1, 2, 3$ 维随机游走的标度律，得到了和理论自治的结果。
- 程序还需改进。有的地方动态分配多个大数组，明显减慢了运行速度。并且为了换不同的时间种子，用了几处`sleep`函数，也降低了运行速度。

参考文献

- [1] Woess, Wolfgang. Random walks on infinite graphs and groups. Vol. 138. Cambridge university press, 2000.